



سنتز نانوذرات مغناطیسی مگنتایت عاملدار شده با متالوپورفیرین نوبیوم (V) برای حذف انتخابی یون فلورید از محیط‌های آبی

طاهره پورصابری^{۱*}، مصطفی حسنی سعدی^۲ و کامران ترکستانی^۳

^{۱)} عضو هیات علمی گروه تجزیه و ارزیابی مواد، پژوهشگاه صنعت نفت، تهران، ایران، نویسنده مسئول مکاتبات: poursaberit@ripi.ir

^{۲)} اعضای هیات علمی گروه تجزیه و ارزیابی مواد، پژوهشگاه صنعت نفت، تهران، ایران

تاریخ پذیرش: ۹۰/۱۲/۱۰ تاریخ دریافت: ۹۰/۰۵/۱۲

چکیده

وجود مقادیر زیاد فلورید در منابع آبی اثری زیان بار بر سلامتی انسان دارد. یک نانوجاذب مغناطیسی جدید از طریق اصلاح نانوذرات Fe_3O_4 توسط ۳-آمینو پروپیل تری اتوکسی سیلان (APTES) و متالوپورفیرین نوبیوم (V) برای حذف یون‌های فلورید از محلول‌های آبی تهیه شد. عاملدار کردن Fe_3O_4 بطریق شیمیائی و از طریق برهمنکش بین گروه‌های کربوکسیلیک متالوپورفیرین نوبیوم (V) و گروه‌های آمین APTES نشانده شده بر سطح مگنتایت انجام شد. خصوصیات نانوجاذب حاصله توسط روش‌های پراش اشعه X (XRD)، میکروسکوپ الکترونی روبشی (SEM) و طیف سنجی مادون قرمز تبدیل فوریه (FTIR) بررسی شد. عملکرد نانوذرات مغناطیسی اصلاح شده در حذف یون‌های فلورید برحسب pH، زمان تماش، میزان جاذب و اثر آبیون‌های موجود در محلول آبی انجام شد. تحت شرایط بهینه (pH: ۵/۵؛ زمان تماش: ۳۰ دقیقه و میزان جاذب: ۱۰۰ میلی گرم) بازده فلورید زدایی ۹۴٪ بدست آمد. بازیابی فلورید جذب شده توسط NaOH امکان پذیر است و امکان استفاده مجدد از این نانوجاذب برای چهار دورهٔ متوالی وجود دارد.

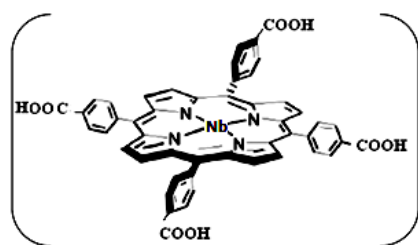
واژه‌های کلیدی: آبودگی آب؛ متالوپورفیرین؛ مگنتایت؛ اصلاح سطح؛ یون فلورید

از آب‌ها و پساب‌ها به منظور حفظ سلامت عمومی و محیط زیست حائز اهمیت است. بسیاری از فعالیت‌های صنعتی مانند پالایشگاه‌ها، صنایع فولاد، ذوب آلومینیوم، و کارخانجات تولید نیمه‌هادی‌ها پساب‌هایی با مقادیر بالای فلورید تولید می‌نمایند که باید فلورورزدایی شوند. روش‌های متعددی برای حذف فلورید از آب گزارش شده است، از جمله رسوب دهی شیمیائی [Huang and Liu 1999] رزین‌های تبادلگر یونی [Popat et. al 1999]، جذب سطحی [Meenakshi and 1994]

مقدمه

مقادیر اندک فلورید در آب‌های آشامیدنی اثرات سودبخشی برای دندان‌ها و استخوان‌ها دارد؛ لیکن وجود مقادیر زیاد آن اثرات معکوسی از پوسیدگی دندان‌ها تا فلچ شدن را به همراه دارد [Besten 1994, Norma Oficial Mexicana] سازمان بهداشت جهانی [World Health Organization, 1993] بیشترین میزان قابل قبول فلورید در آب‌های آشامیدنی را $1/5 \text{ mg/L}$ تعیین نموده است. بنابراین حذف مقادیر بالای فلورید

خاص از خود نشان داده و در ساخت حسگرهای آنیونی کاربرد فراوان یافته‌اند؛ به عنوان مثال ایندیوم [Adriana et. al (III)-پورفیرین برای یون کلرید (III) 2004] منگنز (III)-پورفیرین برای یون تیوسیانات [Seo et. al 2004]، کبات (III)-پورفیرین برای یون نیتریت (SCN^-) [Fagadar-Cosma et. al (IV) 2004] و آلومینیوم (Al^{3+}) و زیرکونیوم (Zr^{4+}) [Mitchell 2004]-پورفیرین برای یون فلوئورید- Koch et. al 2006, Gorski et. al 2004, Malinowska et. al 2002] بکار رفته‌اند.



شکل ۱- ساختار شماتیک متالوپورفیرین استفاده شده در این تحقیق

در این کار نانومگنت جدیدی که متشکل از مگنتیات پوشش داده شده با $^{3-}$ -آمینوپروپیل تری اتوکسی سیلان و عاملدار شده با متالوپورفیرین نویبیوم (V) است (شکل ۱) سنتز و برای حذف انتخابی فلوئورید از محیط‌های آبی استفاده شد. اثر pH، زمان تماس، میزان جاذب و برخی آنیون‌های موجود در محلول بر جذب فلوئورید بررسی شدند.

بخش تجربی مواد شیمیائی

کلرید فریک شش آبه ($\text{FeCl}_3 \cdot 6\text{H}_2\text{O}$), کلرید فروس چهار آبه ($\text{FeCl}_2 \cdot 4\text{H}_2\text{O}$), $^{3-}$ -آمینوپروپیل تری اتوکسی سیلان (APTES)، دی کلرومتان (DMF)، N و $\text{N}-\text{D}_{\text{I}}$ متیل فرمامید (DCM)

[Joshi et. Viswanathan 2007], [Simons 1993]، اسمز معکوس [1992] و الکترولیز [Adhikary et. al 1989] و دیالیز [Hichour et. al 2000]. از این میان به نظر می‌رسد روش‌های جذب سطحی بیشتر مورد توجه بوده و امکان حذف انتخابی را فراهم می‌آورند [Kundu and Gupta 2006, Onyango et. al 2007, Choy et. al 2004, Meenakshi and Maheshwari 2006]

در سال‌های اخیر استفاده از نانوذرات توجه خاصی را به خود جذب کرده و به علت داشتن ویژگی‌هایی مانند نسبت سطح به حجم بالایشان به طور گستردگی به عنوان جاذب به کار رفته‌اند [Zhao et. al 2008]. از طرفی داشتن اندازه‌ی کوچک باعث مشکلاتی در جداسازی این نانوجاذب‌ها از بافت نمونه را ایجاد می‌نماید که کاربرد عملی آنها را محدود می‌کند. جداسازی مغناطیسی راه حل امید بخشی برای جداسازی‌های جامد-مایع فراهم می‌کند. در این حالت با استفاده از یک آهنربا نانوذرات به سادگی از محلول جدا شوند. از سوی دیگر امکان اصلاح و عاملدار کردن این نانوذرات با لیگاند‌های^۱ که بطور انتخابی گونه‌ی موردنظر را از محیط جذب می‌نمایند، ابزار توانمندی را جهت جداسازی آلاینده‌ها فراهم می‌آورد [Ma'mani et. al 2010, Ozmen et. al 2010, Huang and Hu 2008, Jainae et. al 2010, Jainae et. al 2010, Uheida et. al 2006, Mak and Chen 2004, Li et. al 2003, Mayo et. al 2007, Blaney et. al 2007, Hristovski et. al 2008]

متالوپورفیرین‌ها دسته‌ی مهمی از ترکیبات انتخابگرها آنیونی محسوب می‌شوند [Biesaga et. al 2000, Sadeghi and Shamsipur 2000, Gupta et. al 2000, Vlasov et. al 1997] به نوع فلز مرکزی‌شان تمایل ویژه‌ای به آنیون

^۱ Ligands

• ستنتر نانوذرات مغناطیسی: از روش همرسوی شیمیائی بهبود یافته طبق روش مایتی^۵ و [Maity and Agrawal 2007] مطابق این روش $\text{FeCl}_2 \cdot 4\text{H}_2\text{O}$ و $\text{FeCl}_3 \cdot 6\text{H}_2\text{O}$ در آب مقطر حل شدند. مخلوط حاصل تحت نیتروژن و دمای 80°C به مدت یک ساعت همزده شد. سپس محلول آمونیاک قطره قطره اضافه شد، به مدت یک ساعت دیگر همزدن ادامه یافت و سپس تا دمای اتاق خنک شد. در نهایت ذرات Fe_3O_4 رسوب کرده با آب داغ شسته و بوسیله‌ی آهنربا جدا و خشک شدند. سیستم مورد استفاده برای ستنتر در شکل ۲ نشان داده شده است.



شکل ۲- سیستم مورد استفاده برای ستنتر نانوذرات مغناطیسی

• ستنتر نانوذرات اصلاح شده: نانو ذرات Fe_3O_4 در محلول ۱:۱ اتانول- آب پراکنده شده و تحت نیتروژن APTES به آن اضافه شد. برای دستیابی به اصلاح سطح بینه، نسبت مولی APTES به Fe_3O_4 ۱:۴ انتخاب شد [Shen et. al 2004]. سپس محلول تا دمای اتاق سرد شد. نانوذرات اصلاح

سیکلوهگریل کربو دی ایمید (DCHC)، متانول، آمونیاک، نیترات مرکوریک و نمک سدیم آنیون‌های مورد نظر از شرکت شیمیائی مرک تهیه شدند. پورفیرین تتراکیس (۴- کربوکسی فنیل) پورفین (TCPP) از شرکت سیگما- آلدrijج خریداری شد و کمپلکس فلزی آن با نئوبیوم (V) براساس روش توضیح داده شده در مراجع ستنتر [Mifune et. al 2003, Iwado et. al 1999 & 2000].

تجهیزات

کلیه آنالیزها در آزمایشگاه تحقیقاتی پژوهشگاه صنعت نفت انجام گرفت. طیف XRD نمونه‌های جامد در محدوده‌ی 2θ از $5-80^{\circ}$ با استفاده از پراش سنج PW-1840 ساخت شرکت فیلیپس^۱ با تابش $\text{Cu-K}\alpha$ ($\lambda=1/54178 \text{ \AA}^{\circ}$) گرفته شد. اندازه‌ی نانوذرات با دستگاه SEM مدل XL30 از شرکت فیلیپس بررسی شد. طیف‌های FTIR با طیف سنج مدل IFS88 ساخت شرکت بروکر^۲ گرفته شدند. اندازه‌گیری‌های pH با دستگاه pH متر Metrohm^۳ انجام شد. آنالیز آنیون‌ها توسط دستگاه کروماتوگرافی یونی مدل S11122 شرکت سایکم^۴ مجهز به ستون LCA A14 برای جداسازی آنیون‌ها با ابعاد $30 \times 250 \text{ mm}$ و آشکارساز هدایت‌سنج S3115 انجام شد.

ستنتر نانوجاذب

ستنتر نانوذرات Fe_3O_4 پیوند زده شده با گروه‌های مرکاپتو طی سه مرحله انجام شد:

¹ Philips

² Bruker

³ Metrohm

⁴ Sykam

۱۰۰ میلی لیتر متانول) و دمای ستون ۷۰ درجه سانتی گراد.

بازده حذف فلوئورید طبق معادله‌ی ۱ محاسبه می‌شود:

$$\text{بازده حذف فلوئورید} = \left[\frac{C_0 - C_R}{C_0} \right] \times 100 \quad (\%)$$

که C_0 و C_R به ترتیب غلظت‌های اولیه و نهائی یون فلوئورید قبل و بعد از جداسازی می‌باشند.

اثر آنیون‌های موجود

در این مرحله یک آنیون دیگر (مانند نیترات، نیتریت، برومید و کلرید) در مجاورت یون فلوئورید قرار گرفت تا اثر مزاحمت آن بر میزان جذب فلوئورید توسط نانوجاذب بررسی شود. همچنین غلظت این یون مزاحمت دو برابر فلوئورید انتخاب شد.

احیای نانوجاذب

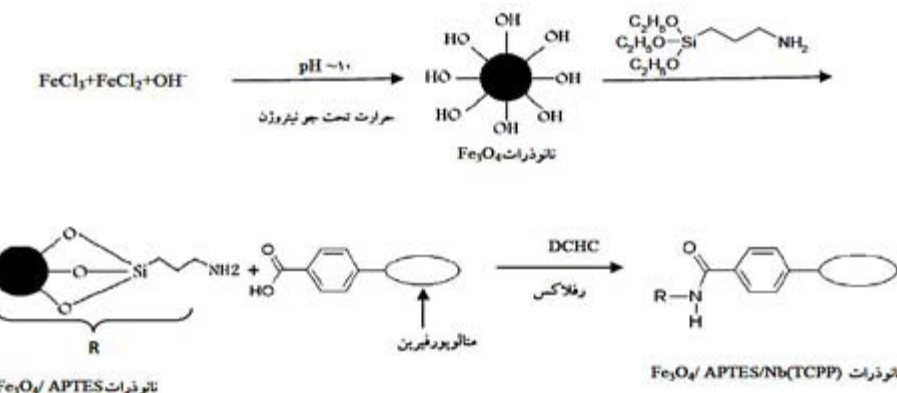
به منظور بررسی برگشت پذیری واکنش جذب فلوئورید بر روی نانوجاذب، امکان احیای جاذب حاوی فلوئورید بررسی شد. ۱۰ mL محلول حاوی یون فلوئورید با غلظت 10 mg/L با 0.1g نانوجاذب به مدت 20 min همزده شد و نانوذرات توسط آهنربا جدا شدند. نانوذرات جدا شده توسط 5 mL NaOH به عنوان محلول عاری ساز با غلظت‌های مختلف ($M = 0.25$) با همزنده به مدت 5 min شسته شد. غلظت یون فلوئورید در محلول صاف شده اندازه‌گیری شد و درصد واجذب محاسبه گردید.

شده با APTES با آهنربا جدا، با متانول و آب فقط شسته و در دمای 70°C در خلا خشک شدند.

- سنتز نانوذرات عاملدار شده: نانوذرات DCHC و $\text{Fe}_3\text{O}_4/\text{APTES}$ به یک بالن ته گرد حاوی DMF تحت نیتروژن اضافه می‌شود. متالوپورفیرین نویبوم (V) در DMF حل شده و قطره قطره به سوسپانسیون اضافه شد. مخلوط در دمای 140°C به مدت ۸ ساعت رفلaks شد [مری‌فیلد ۱۹۶۳] و نانوذرات $\text{Fe}_3\text{O}_4/\text{APTES/Nb(TCPP)}$ توسط آهنربا جدا شدند. برای حذف متالوپورفیرین‌هایی که بطور الکترواستاتیک به $\text{Fe}_3\text{O}_4/\text{APTES}$ چسبیده‌اند، ذرات با DCM و متانول شسته شدند. شماei از فرآیند اصلاح سطح در شکل ۳ آمده است.

فرآیند جذب

با مخلوط کردن نانوذرات $\text{Fe}_3\text{O}_4/\text{APTES/Nb(TCPP)}$ با محلول آبی حاوی فلوئورید بررسی‌ها انجام شد. در یک ظرف دردار 10 mL محلول آبی F^- با غلظت 10 mg/L و 100 mg/L $\text{Fe}_3\text{O}_4/\text{APTES/Nb(TCPP)}$ اضافه شدند. ظرف در دمای اتاق و با سرعت 200 rpm به مدت 20 min تکان داده شد. پس از جدا کردن نانوجاذب توسط آهنربا غلظت باقیمانده فلوئورید در محلول فوقانی توسط کروماتوگرافی یونی با شرایط ذیل اندازه‌گیری شد: حجم تزریق $50\text{ }\mu\text{l}$ میکرولیتر، شوینده مخلوط کربنات سدیم $5\text{ میلی مولار} + 0.2\%$ اصلاحگر (یک گرم ۴-هیدروکسی بنزوئیتیل در



شکل ۳ - عاملدار کردن شیمیائی سطح مگنتایت با استفاده از APTES و متالوپورفیرین نبیوم (V)

برای نانوذره مغناطیسی مگنتایت، نوار جذبی قوی در 580 cm^{-1} مربوط به پیوند Fe-O مگنتایت است (شکل ۶a). این پیوند شاخص پس از اصلاح با APTES و متالوپورفیرین هم دیده می‌شود. در مقایسه با نانوذرات مغناطیسی، مگنتایت پوشیده شده با APTES نوارهای جذبی در 2930 و 2862 cm^{-1} دارند که مربوط به ارتعاشات کششی پیوند C-H گروه پروپیل آمین می‌باشد (شکل ۶b). از آنجاکه شبکه‌ی سیلیکائی از طریق پیوند Fe-O-Si به سطح ذرات می‌چسبد، ورود APTES به سطح نانوذرات Fe_3O_4 با مشاهده‌ی نوارهای 1030 و 1115 cm^{-1} می‌باشد. ترتیب مربوط به Si-O-Si و SiO-H می‌باشد. اثبات می‌شود. دو نوار موجود در 3445 cm^{-1} و 1640 cm^{-1} به ترتیب می‌توانند مربوط به ارتعاش کششی N-H و ارتعاش خمی NH_2 باشند. طیف FTIR نانوذرات $\text{Fe}_3\text{O}_4/\text{APTES/Nb}(\text{TCPP})$ (شکل ۶c) پیکی در 1689 cm^{-1} نشان می‌دهد که مربوط به نوار کششی گروه آمید می‌باشد. این پیک اثبات می‌کند که متالوپورفیرین بطور کووالانسی و از طریق تشکیل پیوند آمیدی بین گروه‌های آمینی APTES و گروه‌های کربوکسیلیک پورفیرین به

نتایج و بحث

بررسی خصوصیات

بررسی ساختار و اندازه‌ی ذرات توسط XRD و SEM به منظور بررسی خلوص فاز طیف RD نانوذرات Fe_3O_4 گرفته شد (شکل ۴) و با طیف مرجع مگنتایت (کارت شماره ۱۹-۶۲۹) از کمیته‌ی مشترک استانداردهای پراش پودری (JCPDS^۱) مقایسه شد. طیف XRD نانوذرات مگنتایت سنتز شده همخوانی خوبی با طیف Fe_3O_4 استاندارد داشت.

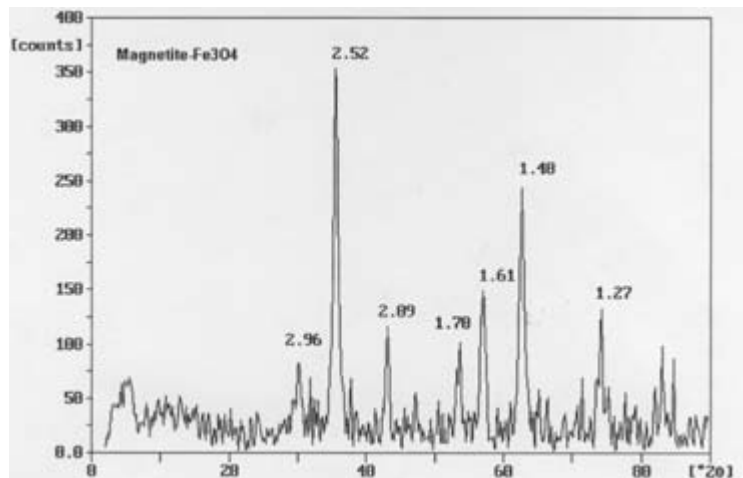
تصویر نانوجاذب سنتز شده توسط SEM بررسی شد (شکل ۵). اندازه‌ی متوسط ذرات $52 \pm 1/2 \text{ nm}$ تعیین شد. به این منظور اندازه‌گیری آماری و میانگیری از 300 ذره انجام پذیرفت.

مطالعات FTIR

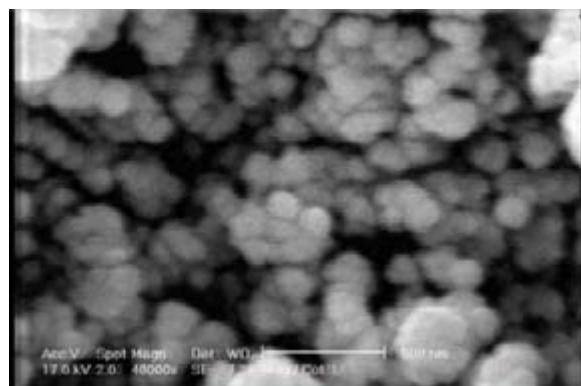
برای اثبات اینکه گروه‌های متالوپورفیرین به سطح نانوذره پیوند زده شده‌اند؛ طیف FTIR نانوذرات $\text{Fe}_3\text{O}_4/\text{APTES}$ و Fe_3O_4 گرفته شد (شکل ۶)

^۱ Joint Committee on Powder Diffraction Standards

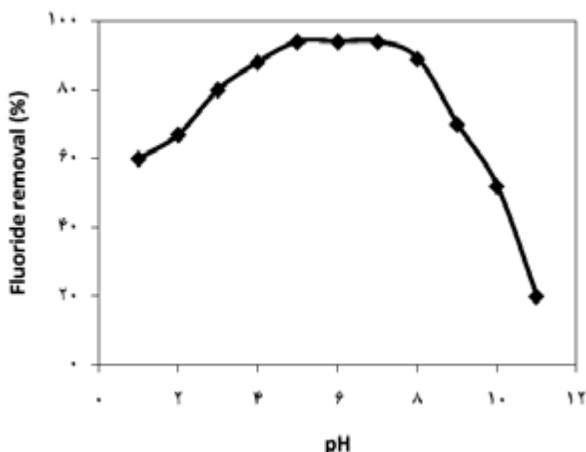
سطح نانوذرات چسبیده است. این طیف همچنین ارتعاش کششی $C=C$ کربن‌های حلقه‌ی بنزنی را در 1500 cm^{-1} بصورت نوار ضعیفی نشان می‌دهد.



شکل ۴- طیف XRD نانوذرات مگنتایت سنتز شده



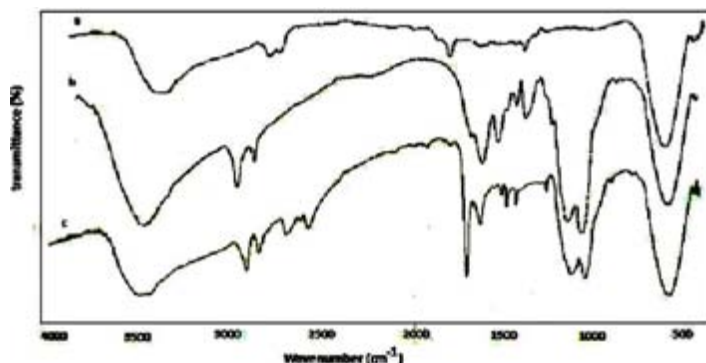
شکل ۵- تصویر SEM $\text{Fe}_3\text{O}_4/\text{APTES}/\text{Nb}(\text{TCPP})$ نانوذرات



شکل ۶- طیف FTIR نانوذرات (c) $\text{Fe}_3\text{O}_4/\text{APTES/Nb(TCPP)}$;(b) $\text{Fe}_3\text{O}_4/\text{APTES}$;(a) Fe_3O_4

متالوپورفیرین حذف فلورید کاهش می‌یابد. چنین روندی در کارهای مشابه که در آن از یک متالوپورفیرین استفاده شده بود نیز مشاهده شده است [Morehouset and Neta 1984, Egorov et al. 2002] کاهش حذف فلورید در pHهای قلیائی می‌تواند مربوط به رقابت آنیون هیدروکسید باشد.

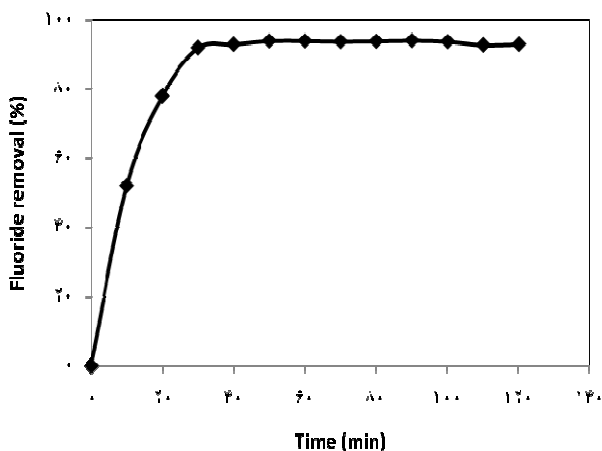
مطالعات جذب اثر pH کارآئی جاذب در محدوده pH ۱-۱۱ بررسی شد (شکل ۷). جذب فلورید ابتدا با pH افزایش داشته و در محدوده pH ۵-۷ به بیشترین مقدار خود رسیده و در pHهای قلیائی کاهش می‌یابد. در pHهای اسیدی به علت فلزدانی جزئی



شکل ۷- اثر pH بر حذف فلورید

شکل ۸ نشان داده شده است. همانطور که مشاهده می‌شود زمان تماس بهینه ۳۰ min است که در آن تقریباً ۹۴٪ فلورید حذف شده است.

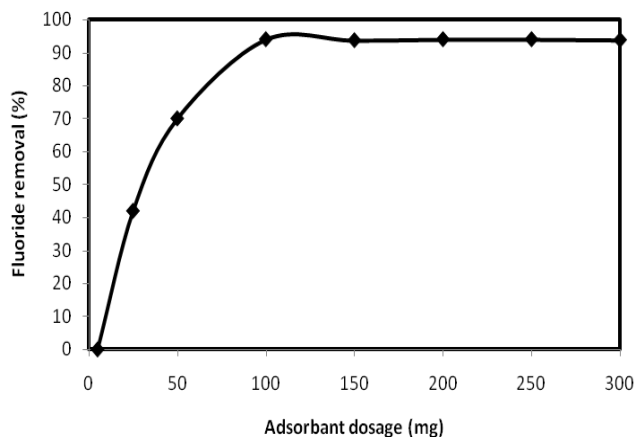
اثر زمان تماس وابستگی زمانی حذف فلورید از محلول‌های آبی به زمان تماس از ۱ تا ۱۲۰ دقیقه بررسی و نتایج در



شکل ۸ - اثر زمان تماس بر حذف فلوئورید

میزان جاذب درصد حذف یون فلوئورید را افزایش می‌دهد و این میزان در 100 mg جاذب به بیشترین مقدار خود می‌رسد.

اثر میزان جاذب
اثر میزان جاذب ($5 - 300 \text{ mg}$) بر حذف یون فلوئورید از یک محلول 10 mg/L بررسی شد.
همانگونه که در شکل ۹ دیده می‌شود افزایش



شکل ۹ - اثر میزان جاذب بر حذف فلوئورید

اینکه حضور این آنیون‌ها می‌تواند بر حذف فلوئورید تأثیرگذار باشد، اثر برخی آنیون‌های

اثر آنیون‌های رقیب
بسته به نوع منبع آب ممکن است بیش از یک آنیون در محیط وجود داشته باشند. با توجه به

همزیست بر حذف فلورید توسط نانوجاذب پیشنهادی بررسی شد (جدول ۱).

جدول ۱- اثر آنیون‌های همزیست بر حذف F^- توسط نانوجاذب پیشنهادی

آنیون‌های موجود در محلول (%)	میزان حذف F^-
۹۴/۰	فقط F^-
۹۰/۸	$F^- + NO_3^-$
۸۹/۰	$F^- + NO_2^-$
۹۰/۳	$F^- + Cl^-$
۸۸/۲	$F^- + Br^-$

برای استفاده مکرر از نانوجاذب آنیون $Fe_3O_4/$ APTES/Nb(TCPP) لازم است یون‌های فلورید جذب شده تحت شرایط مناسب واجذب شوند؛ در غیر اینصورت نانوجاذب به تدریج یون‌های فلورید را جمع کرده و سرانجام اشیاع می‌شود. در این کار واجذب یون‌های فلورید با غلظت‌های مختلف $NaOH$ به عنوان شوینده انجام شد و بیشترین بازیافت F^- با غلظت $0.5M$ آن بدست آمد (جدول ۲).

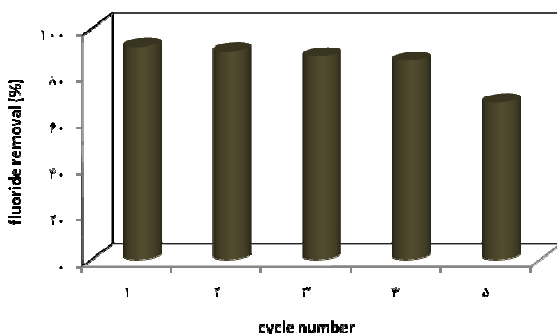
همانطور که ملاحظه می‌شود درصد حذف F^- در حضور آنیون‌های همزیست در محدوده ۸۸/۲٪ تا ۹۰/۸٪ می‌باشد. این مقدار نزدیک به ۹۴/۰٪ است که به محلول فقط حاوی فلورید تعلق دارد. بنابراین آنیون‌های مذکور اثر انگشتی بر حذف فلورید توسط نانوجاذب پیشنهادی دارند. این مسئله بعلت برهمکنش انتخابی متالوپورفیرین استفاده شده با یون فلورید باشد. بازیافت یون فلورید و امکان استفاده مجدد از نانوجاذب

جدول ۲- داده‌های واجذب F^- با استفاده از غلظت‌های مختلف $NaOH$ به عنوان شوینده

غلظت (M) $NaOH$	درصد بازیافت F^-
۰/۱	۴۴/۳
۰/۲۵	۷۰/۰
۰/۵	۹۷/۶
۰/۷۵	۸۴/۳
۱/۰	۷۲/۲

چندانی نداشته (شکل ۱۰) که نشاندهنده امکان بازیافت و استفاده مکرر این نانوجاذب می‌باشد.

پس از نخستین احیا، مطالعات جذب تکرار، سپس نانوجاذب مجدد بازیابی و استفاده شد. پس از چهار تکرار متوالی میزان حذف فلورید تغییر



شکل ۱۰- بازده حذف فلوئورید پس از پنج تکرار متوالی

- 1) Besten D. 1994. Dental Fluorosis: Its Use as a Biomarker. *Adv. Dent. Res.* 8 (1), 105-110.
- 2) Norma Oficial Mexicana: NOM-127-SSA1.1994. Salud Ambiental. Agua para uso y consumo humano. Limites permisibles de calidad y tratamiento a que debe someterse el agua para su potabilizaciون. Mexico, D.F. Diario Oficial de la Federacion CVIII 13, 18 de Enero de 1996.
- 3) World Health Organization (WHO). 1993. Guidelines for Drinking Water Quality, vol.1, 2nd ed., World Health Organization, Geneva.
- 5) Huang C. J. and Liu J. C. 1999. Precipitate flotation of fluoride-containing wastewater from a semiconductor manufacturer. *Water Res.*, 33 (16), 3403–3412.
- 6) Popat K. M. Anand P. S. and Dasare B. D. 1994. Selective removal of fluoride ions from water by the aluminium form of the aminomethylphosphonic acid-type ion exchanger. *React. Polym.*, 23 (1), 23–32.
- 7) Meenakshi S. and Viswanathan N. 2007. Identification of selective ion-exchange resin for fluoride sorption. *J. Colloid Interface Sci.*, 308 (2), 438–450.
- 8) Joshi S. V. Mehta S. H. Rao A. P. and Rao A. V. 1992. Estimation of sodium fluoride using HPLC in reverse osmosis experiments. *Water Treat.*, 7, 207–211.
- 9) Simons R. 1993. Trace element removal from ash dam waters by nanofiltration and diffusion dialysis. *Desalination*, 89 (3), 325–341.
- 10) Adhikary S. K. Tipnis U. K. Harkare W. P. and Govindan K. P. 1989. Defluoridation during desalination of

نتیجه گیری

در این مطالعه هدف سنتز آهنربای نانوئی بود که حاوی گروههای متالوپورفیرین بوده و تمایل خوبی نسبت به یون فلوئورید از خود نشان می‌داد. حال خصلت مغناطیسی نانوجاذب باعث سهولت در جداسازی با استفاده از یک آهنربا می‌شد و برهمکنش انتخابی بخش متالوپورفیرینی آن با یون فلوئورید باعث داشتن جداسازی گزینشی در محیطهای آبی می‌گردید. نتایج اصلی این مطالعه

بصورت زیر فهرست می‌شوند:

- ✓ حذف فلوئورید سریع بوده بطوریکه ۹۴٪ فلوئورید طی ۳۰ min حذف شد.
- ✓ حذف فلوئورید به pH وابسته است بطوریکه در محدوده ۵-۷ افزایش داشته اما قبل و پس از آن کاهش می‌یافتد.

- ✓ حضور آئیونهای همزیست اثر قابل توجهی بر بازده حذف فلوئورید ندارد.
- ✓ نانوجاذب حاوی فلوئورید تا چهار مرحله قابل بازیابی و استفاده مجدد بود.

فهرست منابع

- 20) Jainae K. Sanuwong K. Nuangjamnong J. Sukpirom, N. Unob F. 2010 Extraction and recovery of precious metal ions in wastewater by polystyrene-coated magnetic particles functionalized with 2-(3-(2-aminoethyl thio)propylthio)ethanamine. *Chemical Engineering Journal*, 160, 586–593.
- 21) Uheida A. Salazar-Alvarez G. Bj E. Yu Z. Muhammed M. 2006. Fe_3O_4 and $\gamma\text{-Fe}_2\text{O}_3$ nanoparticles for the adsorption of Co^{2+} from aqueous solution. *J. Colloid Interface Sci.*, 298, 501-507.
- 22) Mak S. Y. and Chen D. H. 2004 Fast adsorption of methylene blue on polyacrylic acid-bound iron oxide magnetic nanoparticles. *Dyes Pigments*, 61, 93-98.
- 23) Li P. Miser D. Rabiei S. Yadav R. T. and Hajaligol M. R. 2003. The removal of carbon monoxide by iron oxide nanoparticles. *Appl. Catal. B: Environ.*, 43 (2), 151-162.
- 24) Mayo J. T. Yavuz C. Yean S. Cong L. Shipley H. Yu W. Falkner J. Kan A. Tomson M. and Colvin V.L. 2007. The effect of nanocrystalline magnetite size on arsenic removal. *Sci. Technol. Adv. Mater.*, 8, 71-75.
- 25) Blaney L. M. Cinar S. Sen Gupta A.K. 2007. Hybrid anion exchanger for trace phosphate removal from water and wastewater. *Water Res.*, 41, 1603-1613.
- 26) Hristovski K. Westerhoff P. Moller T. Sylvester P. Condit W. and Mash H. 2008. Simultaneous removal of perchlorate and arsenate by ion-exchange media modified with nanostructured iron (hydr)oxide. *J. Hazard. Mater.*, 152, 397-406.
- 27) Biesaga M. Pyrzynska K. and Trojanowicz M. 2000. Porphyrins in analytical chemistry. A review. *Talanta*, 50, 209-224.
- 28) Gupta V. K. Jain A. K. Singh L. P. and Khurana U. 1997. Porphyrins as carrier in PVC based membrane potentiometric sensors for nickel(II). *Anal. Chim. Acta*, 355, 33-41.
- 29) Sadeghi S. and Shamsipur M. 2000. Lead(II)-Selective Membrane Electrode Based on Tetraphenylporphyrin. *Anal. Lett.*, 33, 17-28.
- 30) Gupta V. K. Jain A. K. and Mangla R. 2000. Protoporphyrin IX dimethyl ester as active material in PVC matrix membranes for the fabrication of zinc(II) brackish water by electrodialysis. *Desalination*, 71 (3), 301–312.
- 11) Hichour M. Persin F. Sandeaux J. and Gavach, C. 2000. Fluoride removal from waters by Donnan dialysis. *Sep. Purif. Technol.*, 18 (1), 1– 11.
- 12) Kundu S. and Gupta A. K. 2006. Arsenic adsorption onto iron oxide-coated cement (IOCC): Regression analysis of equilibrium data with several isotherm models and their optimization. *Chem. Eng. J.*, 122, 93–106.
- 13) Onyango M. S. Kuchar D. Kubota M. and Matsuda, H. 2007. Adsorptive Removal of Phosphate Ions from Aqueous Solution Using Synthetic Zeolite. *Ind. Eng. Chem. Res.*, 46 (3), 894–900.
- 14) Choy K. K. H. Porter J. F. and McKay G. 2004. Film-pore diffusion models—analytical and numerical solutions. *Chem. Eng. Sci.*, 59 (3), 501–512.
- 15) Meenakshi S. and Maheshwari R. C. 2006. Fluoride in drinking water and its removal. *J. Hazard. Mater.*, 137, 456–463.
- 16) Zhao X. L. Shi Y. L. Cai, Y. Q. and Mou S. F. 2008. Cetyl trimethyl ammonium bromide-coated magnetic nanoparticles for the pre-concentration of phenolic compounds from environmental water samples. *Environ. Sci. Technol.* 1139, 178– 184.
- 17) Ma'mani L. Sheykhan M. Heydari A. Faraji M. and Yamini Y. 2010. Sulfonic acid supported on hydroxyapatite-encapsulated- $\gamma\text{-Fe}_2\text{O}_3$ nanocrystallites as a magnetically Brønsted acid for N-formylation of amines. *Applied Catalysis A: General*, 377, 64-69.
- 18) Ozmen M. Can K. Arslan G. Tor A. Cengeloglu Y. Ersoz M. 2010. Adsorption of Cu(II) from aqueous solution by using modified Fe_3O_4 magnetic nanoparticles. *Desalination*, 254, 162–169.
- 19) Huang C. and Hu B. 2008. Silica-coated magnetic nanoparticles modified with γ -mercaptopropyltrimethoxysilane for fast and selective solid phase extraction of trace amounts of Cd, Cu, Hg, and Pb in environmental and biological samples prior to their determination by inductively coupled plasma mass spectrometry. *Spectrochimica Acta Part B*, 63, 437–444.

- 38) Mifune M. Sugimoto k. Iwado A. Akizawa H. Motohashi N. Saito Y. 2003. Flow Injection Analysis of Hydrogen Peroxide Using Glass-Beads Modified with Manganese(III)-Tetra(4-carboxyphenyl)porphine Derivative and Its Analytical Application to the Determination of Serum Glucose. *Anal. Sci.*, 19 (4), 569-573.
- 39) Iwado A. Mifune M. Kato J. Oda J. Chikuma M. Motohashi N. and Saito Y. 2000. Catalytic Activity of Anion-Exchange Resins Modified with Metal-Porphine in Oxidative Reactions of Phenols. *Chem. Pharm. Bull.*, 48 (11), 1831-1832.
- 40) Iwado A. Mifune M. Hazawa T. Mukuno T. Oda J. Motohashi N. and Saito Y. 1999. Peroxidase-Like Activity of Ion Exchange Resins Modified with Metal-Porphine in Fluorescent Flow Injection Analysis. *Anal. Sci.*, 15 (9), 841-846.
- 41) Maity D. and Agrawal D. C. 2007. Synthesis of iron oxide nanoparticles under oxidizing environment and their stabilization in aqueous and non-aqueous media. *J. Magn. Magn. Mater.*, 308 (1), 46-55.
- 42) Shen X. C. Fang X. Z. Zhou Y. H. and Liang H. 2004. Synthesis and characterization of 3-aminopropyltriethoxysilane-modified superparamagnetic magnetite nanoparticles. *Chem. Lett.*, 33, 1468-1469.
- 43) Merrifield R. B. S. 1963. Solid Phase Peptide Synthesis. I. The Synthesis of a Tetrapeptide. *J. Am. Chem. Soc.*, 85, 2149-2154.
- 44) Morehouset K. M. Neta P. 1984. Kinetics of demetalation of manganese (II) porphyrins in aqueous solutions. *J. Phys. Chem.*, 88, 31, 18-3120.
- 45) Egorov V. V. Rakhman'ko E. M. Rat'ko A. A. 2002. Metalloporphyrin-Based Anion-Selective Electrodes with Unusual Selectivity. *J. Anal. Chem.*, 57, 46-53.
- selective sensor. *Sens. Actuators B*, 76, 617-623.
- 31) Vlasov Y. U. Legin A. and Rudnitskaya A. 1997. Cross-sensitivity evaluation of chemical sensors for electronic tongue: determination of heavy metal ions. *Sens. Actuators B*, 44, 532-537.
- 32) Adriana M. Pimenta Alberto N. Araújo Maria Conceição B. S. Montenegro M. Celio Pasquini Jarbas J. R. Rohwedder Ivo M. Raimundo Jr. 2004. Chloride-selective membrane electrodes and optodes based on an indium(III) porphyrin for the determination of chloride in a sequential injection analysis system, *Journal of Pharmaceutical and Biomedical Analysis*, 36, 49-55
- 33) Seo H. R. Lee H. K. and Jeon S. 2004. Improved Thiocyanate-Selective Electrode Based on Tetra(trimethylphenyl)-porphyrinato Manganese (III) Chloride: The Electronic and pH Effects. *Bull. Korean Chem. Soc.*, 25 (10), 1484-1488.
- 34) Fagadar-Cosma E. Vlascici D. Fagadar-Cosma G. Bizerea O. and Chiriac A. 2004. The study of the electrochemical behaviour of metallo-porphyrins with Co(II) and Co(III). Nitrite-selective electrode based on [5,10,15,20-tetraphenyl-21H,23H-porphyrinato-N21, N22, N23, N24]Co(III) chloride. *Rev. Chim.*, 55, 882-885.
- 35) Mitchell-Koch J. T. Pietrzak M. Malinowska E. and Meyerhoff M. E. 2006. Aluminum (III) Porphyrins as Ionophores for Fluoride Selective Polymeric Membrane Electrodes. *Electroanalysis*, 18, 551-557.
- 36) Gorski L. Meyerhoff M. E. Malinowska E. 2004. Polymeric membrane electrodes with enhanced fluoride selectivity using Zr(IV)-porphyrins functioning as neutral carriers. *Talanta*, 63, 101-107.
- 37) Malinowska E. Górski L. and Meyerhoff M. E. 2002. Zirconium (IV)-porphyrins as novel ionophores for fluoride-selective polymeric membrane electrodes. *Anal. Chim. Acta*, 468, 133-141.